

### III-215 花こう岩類の風化構造についての考察

復建調査設計(株) 正会員○橋川邦武  
復建調査設計(株) 西尾喬夫  
復建調査設計(株) 正会員 寺田彰憲

1. まえがき：中国・四国地域の花こう岩類の現場観察から著者は花こう岩類のあらわる風化段階に応じて花こう岩類にはほぼ普遍的に水平～緩傾斜の微細なひび割れ性の面構造が発達していることをすでに明らかにした(橋川、宮原、1974、応用地質学雑誌)。このひび割れ性の面は一般にSheetingと呼ばれている。これはCleosのLagerklüfte(またはS-joint)と、ペロソフのSurface jointと一致するものである。このSheetingはマサ土に於ては1~2mm以下のオーダーで細密に発達する(図-1)。更にこの面は軟岩～硬岩になると数cmから数十cmの間隔になるが、肉眼で識別しえる程度の密着した滑落的な割れ目はやはり数mmのオーダーで発達しているものと著者は考えている。このSheetingは図-3に示すように地表付近では地形面に対してsubparallelになり傾斜角が漸次大きくなる。より深部の水平な面はPrimaryなsheetingで地表付近の緩傾斜のそれはSecondaryなsheetingである。このprimary sheetingの成因については現在次のように考えている。このsheetingはズレをほとんど生じないことからしてtension crackである。比みられることからして最大主応力軸が水平で最小主応力軸が鉛直方向の応力配置によって生じたと推定される。しかし弹性論的には地盤の応力状態はこれとは逆になるが地盤は静水圧的応力状態にあるとすれば問題は解決する。この静水圧的応力状態から生じて2通りの推定が成立する。まずオ1にこのような応力状態のもとに造構応力が側圧として水平に付加し $\sigma_3$ が水平に、 $\sigma_1$ が鉛直になる。オ2に側圧は考慮なく地表の侵蝕による上載荷重除荷の応力解放が $\sigma_1$ が水平、 $\sigma_3$ が鉛直の応力配置をもたらす。P.sheetsとS.sheetsが漸移するとこうまとめると後者によると考える根拠が有力である。この報告では、このSheetingが風化花こう岩類の弾性波速度に顕著な異方性を示すことを実測値から示したものである。

2. 風化花こう岩類の弾性波速度(Vp)の異方性：岩盤を対象とした土木工事においてその岩盤を評価する際に最も簡便で比較的容易に得られる物理量としてVpを利用することが多くなっている。従ってVpと他の物理量との関係例えばボアソン比、一軸圧縮強度、変形係数等との比較研究は数多く行なわれている。従来花こう岩類は比較的等方的な岩盤として取り扱われてきたが、この点に関して著者は疑問を抱き、ボアホール、人工法面、隧道の導坑等を利用して立体的な弾性波探査の結果から、風化花こう岩類よりなり岩盤は異方性体として取り扱うべきであることが明らかとなつた。以下実測結果を示す。

2-1). 水平地形におけるP波速度換算と屈折法の速度断面の比較：図4,5は広島市北方の沼田町におけるマサ土地域の宅地造成予定地域の調査結果である。標高200m程度の尾根の部分で深度30mまでのマサ状風化帶の



図-1, マサ状風化帶のSheeting



図-2, 比較的新鮮な岩盤のSheeting.

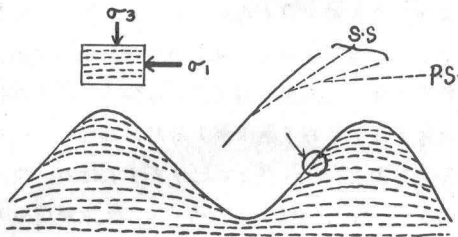


図-3, Sheetingsの発達状況とPS発生の応力配置 (PS: Primary sheeting, SS: Secondary Sheetings)

部分で P 波速度複層による速度分帶の方が屈折法による速度分帶と同一深度帯で比較した場合深く入っている。すなはち同一深度での速度は前者で小さく後者で大きい。このことは、マサ土の垂直方向の速度が最小の速度となる、ということを示すものである。図-4 は広島市内商陽町における比較で同様の傾向を示す。

## 2-2) 人工斜面における水平及び傾斜

方向の速度の比較：図-6 に示すようなマサ土よりなる傾斜角 30° の斜面で水平方向 (A, B 測線), 傾斜方向 (C 測線) の測線で表-1 に示す速度値が得られた。

	測線	半径 (m)	半径 (m)	備考
水平 A	20.0	500 m/s	700 m/s	半径約 10m
" B	20	475	750	" 約 23m
上下 C	18	475	500	半径 VP 低下率 約 30%

表-1 図-6 に示す測線の探査結果

オ 1 乃是カットによる表層のやるみであろう。オ 2 乃是方向による速度差が現れ、傾斜方向で約 30% 速度低下を示している。

2-3) 導坑を利用した場合の比較：広島県のある道路トンネルのための屈折法による探査から図-8 に示す速度断面を得た。地質はマリ状風化帶である。

$V_P = 2.0 \sim 3.0 \text{ km/s}$  層の中の導坑に地震計を設置し、地表から発射した。この場合の  $V_P$  初動の到達時間まで速度断面から計算した予想値(光)と実測値(太)を表-2 に示す。この表からたがだよりも平均 2 倍近くに近くなっている。このことは鉛直方向の地山の速度が約半分近くにならっていることを示している。

測定 No.	Calculated time $\times 10^{-3} \text{ sec}$	Observed time $\times 10^{-3} \text{ sec}$	予想値(光)と実測値(太)の倍率
20	233.4 - 48.4 (36.2)	61.0	162.26 (69)
25	30.6 - 48.0 (38.4)	67.0	119.40 (74)
85	20.5 - 30.3 (23.0)	34.5	68.15 (50)

表-2 計算時間と実測時間の比較 ( ) 内は平均値

なっている。このことは鉛直方向の地山の速度が約半分近くにならっていることを示している。

3. 結論：以上の調査結果、およびこれまで得られた所への実測値をまとめると図-9 の結果が得られた。

風化花こう岩地帯における地山の半径は水平方向(厳密には垂直成分を考慮せよ)に対して鉛直方向が最大 50~60 % 低下することが明らかとなった。これは Sheetung の効果以外で説明できない。最後に Sheetung は斜面近傍では顕著な流氷壁を形成

しておりマサ土斜面の安定上重要な factor となる可能性がある。未だながらこの研究においては当社地質調査部の宮原健二、仁科利晴両技師をはじめとする部員の方々の御協力に負うところが大きい。記して謝意を表する次第であります。

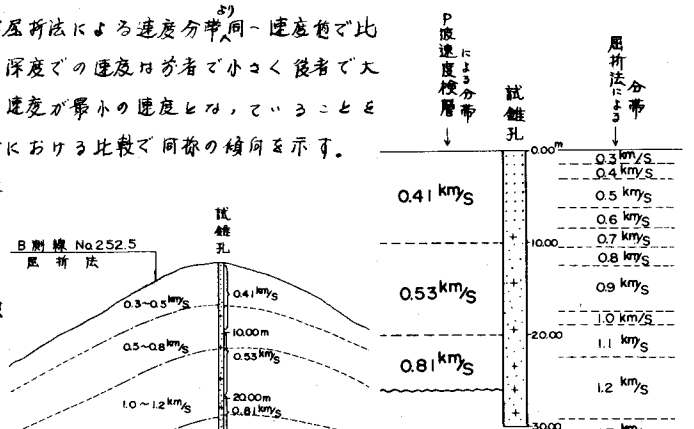


図-4 速度複層と屈折法速度分帶比較

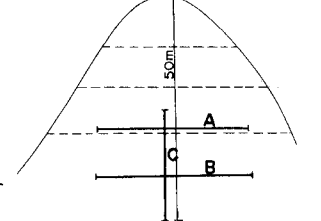


図-6 人工斜面の屈折法測線配置

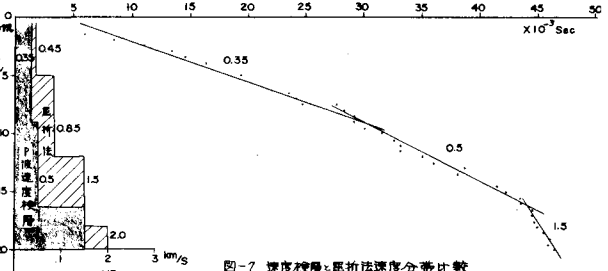


図-7 速度複層と屈折法速度分帶比較

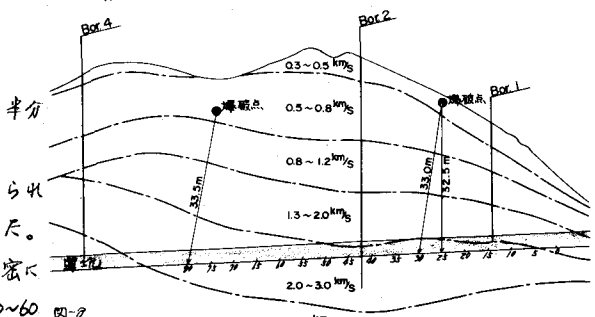


図-8 屈折法速度断面と導坑壁面

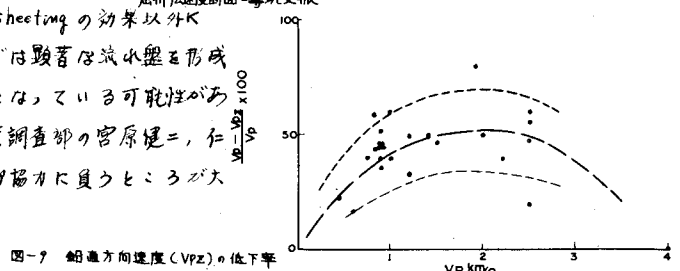


図-9 鉛直方向速度 (Vp) の低下率